第 5 期 1999 年 9 月 CHINESE

无机化学学报 CHINESE JOURNAL OF INORGANIC CHEMISTRY Vol. 15, No. 5 Sep. , 1999

研究简报

二(年肟基丙酸根)合铜(1)的固相合成、表征及热分解

0614.12

刘扬中 张祖德 郑 韬 余华明 刘清亮"

(中国科学技术大学化学系,合肥 230026)

HPAO

关键词: 分类号: 固相反应 0614.12 a·肟基丙酸

內米微粒 氧化铜

铜酸物料

 α -肟基丙酸(Propanoic acid, 2-hydroxyimino, HPAO)作为一种重要的生物配体,它与第一过渡系金属所形成配合物的结构方面曾有一些报道[1~5]。HPAO 的 Pd(\mathbb{I})、Pt(\mathbb{I})、Co(\mathbb{I})、Rh(\mathbb{I})等配合物近年来也引起了人们的注意[6.7]。后来,人们发现 HPAO 可作为低温下制备金属氧化物陶瓷的优良前驱体[8.8]。最近,Allen W. Apblett 等人又对 HPAO 的碱金属盐的热分解性质进行了研究[18]。

1 实验部分

1.1 试剂

HPAO 按文献[18]合成,液相[Cu(PAO)2]·2H2O 参照文献[14]合成。其余试剂为分析纯。

1.2 似哭

C、H、N 的含量用 PE-240C 元素分析仪测定。红外光谱(IR)用 Bruker Vector 红外分光光度计测定,KBr 压片。荧光光谱用 Hitachi-850 荧光分光光度计测定。XRD 用 D/Max Rigaku X 衍射仪测定,铜靶。热分析用 WRT-3 型热重分析仪检测。TME 照片用 Hitachi H-800 透射电镜拍摄。

1、3 「Cu(PAO)₂]·2H₂O 的固相反应合成方法

取 0.200 g (1.0 mmol) Cu(Ac)₂·H₂O 与 0.206 g (2.0 mmol) HPAO 在室温下混合,滴加数滴水后充分研磨均匀,然后放入烘箱,在 50℃下烘 3 小时后取出,用乙醇洗涤,干燥后得到蓝色产物,收率约 90%。

1.4 配合物的热分解

将配合物放入马福炉中,升温至300℃并保持半小时,得到黑色粉末。

收稿日期:1998-09-21。 收修改稿日期:1999-01-20。

国家自然科学基金资助项目(No. 29471027)。

^{*} 通讯联系人。

第一作者:刘场中,男,35岁、博士生;研究方向:配位化学。

2 结果与讨论

2.1 配合物的合成条件

以 IR、XRD 对不同条件下合成的产物进行分析,并与液相合成产物进行比较。结果表明,在 50℃下反应 3 小时后,IR 谱与液相反应产物完全一致,XRD 也证实了这一点。反应方程式为:

 $Cu(Ac)_2 \cdot H_2O + 2HPAO + H_2O \longrightarrow [Cu(PAO)_2] \cdot 2H_2O + 2HAc \uparrow$

在研磨过程中,闻到的醋酸味,证实了这一点。

2.2 配合物的组成

固相反应产物的元素分析结果(括号内为理论值%)为, C 23. 59(23. 73%)、H 4. 22(3. 98%)、N 9. 43 (9. 22%),符合[Cu(PAO).]・2H₀O 的 C₄HゥN₂O₅Cu 组成、

2.3 红外光谱

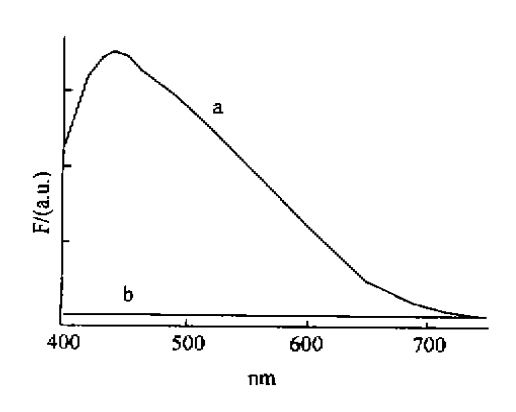
表 1 化合物的红外光谱数据 Table 1 IR Data of the Compounds

·	ν(C≕N)	ν _{as} (COO)	η (COO)	ν(N-O)	₽(H ₂ O)
HPAO	1652(s)	1693(vs)	1417(s)	1042(s)	~
[Cu(PAO) ₂] • 2H ₂ O	1656(s,sh)	1674 (vs)	1393(s)	1076(m)	3292(s)

固相反应所得产物 [Cu(PAO)₂]·2H₂O(s)的 IR 谱图与液相方法制备的对照样品 [Cu(PAO)₂]·2H₂O(1)的一致。表 1 列出了 HPAO 及 [Cu(PAO)₂]·2H₂O 的主要 IR 特征吸收峰。与配体相比较、配合物的 v_{at} (COO)产生红移、说明配体中的羧基参与配位;C=N 参加配位时,N 上的孤对电子可以与金属原子的空轨道形成 N→M 的 σ 配键,同时 C=N 的 π ·空轨道也可以容纳中心原子的电荷形成反馈 π 键,因而 C=N 配位后, ν (C=N)通常蓝移 [15]。而 ν (N-O)的蓝移则可以说明肟基上的 O 没有参加配位。生成配合物后,在高频区出现了配位水的振动峰 ν (H₂O)。

2.4 荧光光谱

配体 HPAO 的荧光光谱见图 1,以 350 nm 为激发波长,其最大发射波长位于 440 nm 处。



a: HPAP $b: [Cu(PAO)_2] \cdot 2H_2O$

图 1 荧光光谱图

Fig. 1 Fluorescence spectra

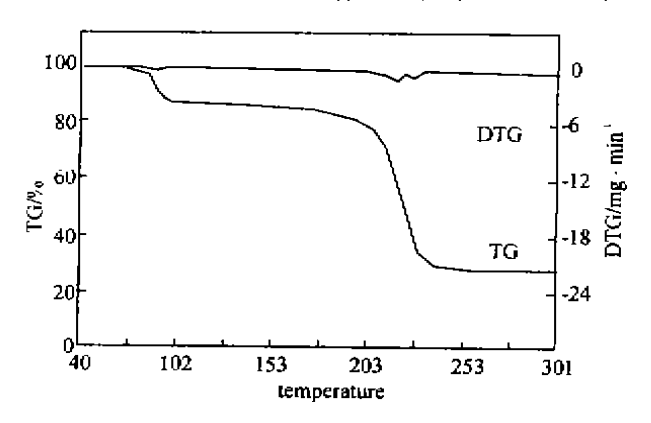


图 2 [Cu(PAO)₂]·2H₂O 的热分析曲线

Fig. 2 Thermal analysis curve of [Cu(PAO)₂] • 2H₂O heating rate; 3°C • min⁻¹ air; atmosphere

维普资讯 http://www.cqvip.com

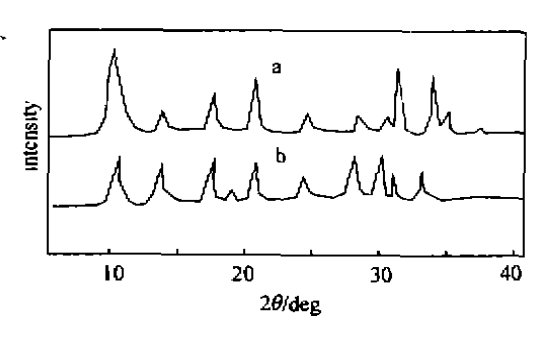
HPAO 荧光产生的原因是由于在它的分子中,COOH 与 C=NOH 形成了共轭双键,而且二者通过分子内氢键形成六元环,这可以通过 HPAO 中 ν (OH)的峰位得以证实^[15]。 HPAO 与 Cu(I) 形成配合物后,其 COO⁻与 C=NOH 均与 Cu 形成配位键,导致了原有结构的破坏,使得配体原有的荧光完全猝灭^[17]。

2.5 热分析

[Cu(PAO)₂]·2H₂O的TG-DTG曲线如图 2。从图中可以看出,在88~95℃之间配合物失重 12.27%,相当于失去两分子的水,与理论值 11.86%非常吻合。继续升温至 200℃左右,此配合物开始分解,约升至 240℃分解完全。最终残余物重量仅为原配合物[Cu(PAO)₂]·2H₂O的 27.67%,相当于 CuO的重量,与理论值 26.19%相符。

2.6 配合物 X 射线粉末衍射

由固相反应制得的[Cu(PAO)₂]·2H₂O 与液相合成产物相比基本一致,它们的衍射峰处于同样位置,说明二者是同种化合物(见图 3)。



a:[Cu(PAO):] • 2H:O(1) b:[Cu(PAO):] • 2H:O(s)

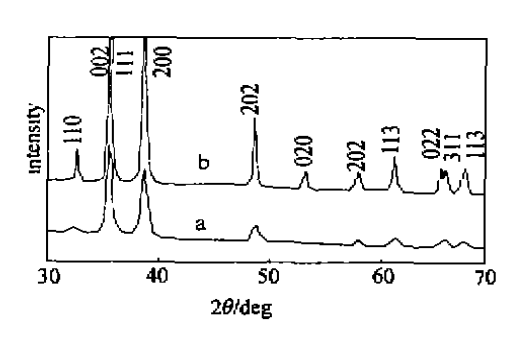
图 3 配合物的 XRD 谱

Fig. 3 XRD pattern of the complexes

2.7 热分解反应

从分解产物的 XRD 谢图(图 4)中可以看出,配合物分解后得到了 CuO 纳米微粒,产物纯净、没有杂蜂,但粒径大小有所不同。300℃产物的衍射峰较宽,这是由于粒径小而导致峰的宽化。从透射电镜照片上看出(图 5).300℃时分解所得的 CuO 近似为球形,颗粒大小分布均匀,无团聚,粒径约为 20~30 nm。

通过固相反应合成了[Cu(PAO)₂]。 2H₂O。这是一种简单、方便的方法,产物的收率 约90%。用所得的配合物制得了CuO纳米微 粒,微粒粒径约为20~30 nm,而且分散均匀, 这种纳米微粉具有较大的表面能,因而可用作 低温烧结材料。



a: 300°C; b:500°C

图 4 配合物热分解产物的 XRD 谱

Fig. 4 XRD pattern of the pyrolysis of the complex



图 5 CuO 粒子的 TEM 照片

Fig. 5 TEM image of CuO particles ($\times 20000$)

参考文献

- [1] Celap M. B., Beattie J. K. Inorg. Chams. Acta, 1980, 47, 59.
- [2] Choi Y., Jo K. Y., Sook K. S. Yakhak Hoecha, 1985,29(3),117(Korean).
- [3] Boreko Y. L., Korobchenko L. Y. Khum. -Farm. Zh., 1882, 28 (7-8), 56 (Russ).
- [4] Lagercrantz C., Larsson T., Eberson L. Acta Chem. Scand., 1982, 48(4), 384.
- [5] Sliva T. Y. Simonov Y. A., Lampeka R. D., Dvorkin A. A., Mazrus M. D. Zh. Struke. Ahm., 1991.32 (3),138.
- [6] Lameka R., Wanjek H., Beck W. Z. Naturforsch B; Chem. Sci., 1998,51(4),574(Ger).
- [7] Lampeka R., Bergs R., Kramer R., Polborn K., Beck W. Z. Naturforsch, B. Chem. Sch., 1994,48(2),225 (Ger).
- [8] Apblett A. W., Lei J. In Better Ceramics Through Chemsury V; Male. Res. Soc. Symp. Proc., 1992,271,77.
- [9] Apblett A. W., Georgieva G. D. Phosphorus Sulfur Silvon, Rel. Elem., 1984,478,93.
- [10] Aphlett A. W., Georgieva G. D., Mague J. T. Inorg. Chem., 1997,38,2656.
- [11] Hou H. W., Long D. L., Xin X. Q. hung. Chem., 1998, 35, 5363.
- [12]LU Jing-Ci(吕敬慈), CHEN Jun-Sheng(陈军生), SU Qing-De(苏庆德), YONG Ke-Lan(雍克岚) Gaodeng Xuerao Huazue Xuebao (Chem. J. Chin. Unav.), 1897, 18(8), 1262.
- [13] Ahmad A., Spenser I. D. Can. J. Chem., 1861,38,1340.
- [14] Skopenko V. V., Lampeka R. D., Fritskii I. O. Dokt. Akaet. Nawk SSSR 1980,312(1),123(Chem.) (Russ).
- [15] Keeney M. E., Osseo-Asate K. Coor. Chem. Rev., 1884,59,141.
- [16] Kazuo Nakmoto, HUANG De-Ru(黄德如), WANG Ren-Qing(汪仁庆) Infrared and Raman Spectra of Intergrance and Coordination Compounds(无机和配位化合物中的红外和拉曼光谱(第四版)), Beijing: Chemical Engicering Press, 1891.
- [17] Lakowicz J. R. Pruciple of Fluorescence Spectroscopy, New York 1883,259.

SYNTHESIS. CHARACTERIZATION AND PYROLYSIS OF BIS(2-HYDROXYIMINOPROPANOATO) COPPER(${\mathbb I}$) BY SOLID STATE REACTION

LIU Yang-Zhong ZHANG Zu-De ZHENG Tao YU Hua-Ming LIU Qing-Liang
(Department of Chemostry, University of Science and Technology of China, Hefei 230026)

Bis(2-hydroxyiminopropanoato) copper (\mathbb{I}) ([Cu(PAO)₂] • 2H₂O) was synthesized by one step solid reaction between Cu(Ac)₂ • H₂O and 2-hydroxyimino propanoic acid (HPAO) at 50°C. The complex was characterized by elemental analysis, IR, XRD, flourenscence spectrum and thermal analysis. XRD and TEM showed nanometer particles (about $20\sim30$ nm) of CuO was prepared by pyrolysis of the complex at 300°C in the air.

Keywords: solid reaction propanoic acid 2-(hydroxyimino) nanometer particles copper oxide